

## پخش‌بار بهینه مبتنی بر جایابی بهینه دو سیستم دو ترمیناله HVDC به منظور بهره‌برداری بهینه سیستم قدرت

مهدى ابوالفضلی<sup>(۱)</sup> – افشين لشکرآرا<sup>(۲)</sup> – احمد کاظمي<sup>(۳)</sup> – سيد علی نبوی نياکي<sup>(۴)</sup>

(۱) کارشناس ارشد – دانشکده تحصیلات تکمیلی، دانشگاه آزاد اسلامی، واحد دزفول

(۲) استادیار – دانشکده تحصیلات تکمیلی، دانشگاه آزاد اسلامی، واحد دزفول

(۳) دانشیار – دانشکده برق، دانشگاه علم و صنعت ایران

(۴) دانشیار – دانشکده برق و کامپیوتر، دانشگاه تورنتو کانادا

تاریخ پذیرش: پاییز ۱۳۹۲

تاریخ دریافت: پاییز ۱۳۹۱

**خلاصه:** در این مقاله مدل‌سازی ریاضی مناسبی از سیستم دو ترمیناله HVDC برای جایابی بهینه و پخش‌بار بهینه مانند مدل تزریق توان ارائه شده است. برای توسعه پخش‌بار بهینه (OPF) و جایابی بهینه مبتنی بر OPF از دو سیستم دو ترمیناله HVDC برای کاهش مجموع هزینه ساخت و تلفات اکتیو شبکه به عنوان توابع هدف استفاده شده است. چهارچوب بهینه‌سازی با وسیله برنامه‌ریزی غیر خطی (NLP) مدل گردیده است و با استفاده از محیط نرم افزاری Matlab و GAMS حل شده است. الگوریتم پیشنهادی بر روی سیستم‌های آزمایش IEEE پیاده‌سازی شده است. نتایج شبیه‌سازی قابلیت حضور دو سیستم دو ترمیناله HVDC را در بهبود عملکرد سیستم قدرت نشان می‌دهد. علاوه بر این، دو سیستم دو ترمیناله HVDC در عملکرد سیستم قدرت از نظر اقتصادی و فنی با ادوات FACTS و PST مقایسه شده است.

**كلمات کلیدی:** VSC-HVDC، پخش‌بار بهینه، جایابی بهینه مبتنی بر OPF، مدل‌سازی، برنامه‌ریزی غیر خطی.

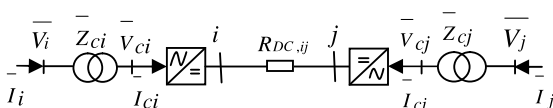
مهندسی منوط به معیارهای اقتصادی می‌باشد. ولی مزایای دیگری نیز در احداث یک خط HVDC وجود دارد که می‌تواند تا حدود زیادی بهره‌برداران شبکه‌های قدرت را به سمت استفاده از خطوط HVDC با وجود هزینه بالای سرمایه‌گذاری آن رهنمای سازد [۱]. با توجه به مزایای HVDC که بسیاری از مشکلات سیستم‌های امروزی را کاهش می‌دهد روند کاربرد این تجهیز در سیستم‌های قدرت بسیار افزایش یافته است. حضور بیش از ۱۰۰ خط HVDC در سرتاسر دنیا از جمله آمریکا، ژاپن، کشورهای اسکاندیناوی، استرالیا، برباد، آفریقای جنوبی، هند و چین نشان دهنده روند رو به رشد به کارگیری تکنولوژی DC در سیستم انتقال می‌باشد [۱]. از این رو، این مقاله در صدد ارائه مناسب‌ترین الگوی بهره‌برداری با حضور سیستم‌های چندترمیناله HVDC می‌باشد. پخش‌بار بهینه (OPF) یکی از ابزارهای اصلی در مطالعات برنامه‌ریزی و بهره‌برداری سیستم‌های قدرت می‌باشد. در برنامه‌ریزی توسعه سیستم‌های قدرت، پخش‌بار بهینه در مراحل متعدد

### - مقدمه

افزایش تقاضا برای انرژی به توسعه سیستم قدرت الکتریکی و استفاده از منابع انرژی تجدیدپذیر منجر گردیده است. اما ساخت خطوط انتقال جدید به صرف زمان و هزینه گزاف نیازمند است. به عبارت دیگر منابع انرژی شامل انرژی بادی و خورشیدی معمولاً در مکان‌های دور از مصرف کنندگان وجود دارند و خطوط انتقال AC در مسافت‌های طولانی از لحاظ اقتصادی و فنی مناسب نمی‌باشند. در سال‌های اخیر با توسعه صنعت الکترونیک قدرت، ساخت ادوات نیمه هادی با توان‌های بالاتر و قیمت‌های ارزان‌تر صورت گرفته است. استفاده از سیستم‌های جریان مستقیم ولتاژ بالا<sup>(۱)</sup> (HVDC) یک راه حل فعال برای ادغام مزارع بادی موجود در دریا (و سایر روش‌های تولید انرژی الکتریکی در دریا) با سایر نیروگاهها در خشکی حتی در حالت سنکرونیزه نبودن و در مسافت‌های طولانی می‌باشد. اگرچه معمولاً انتخاب خط HVDC در شبکه‌های قدرت مانند دیگر طرح‌های

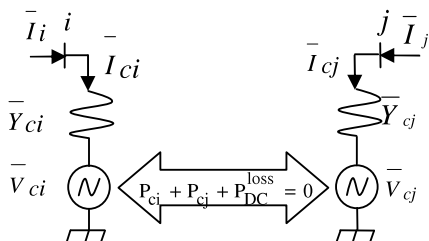
## ۲- مدل‌سازی سیستم دو ترمیناله HVDC

سیستم دو ترمیناله HVDC شامل دو مبدل منبع ولتاژ می‌باشد (شکل ۱۱). مدل‌ها به‌وسیله ترانسفورماتورها به شین‌های  $i$  و  $j$  متصل می‌گردند. مدار معادل سیستم دو ترمیناله HVDC شامل ترکیب سری منبع ولتاژ و امپدانس ترانسفورماتور می‌باشد که در آن مبدل منبع ولتاژ (VSC) به‌وسیله مبدل منبع ولتاژ نشان داده است و امپدانس ترانسفورماتور به‌وسیله  $\bar{Z}_{cm}$  ( $m=i,j$ ) نشان داده می‌شود (شکل ۱۲). دو کنورتر با توجه به کاربردشان به صورت پشت به پشت و یا توپوت کابل DC بهم متصل می‌گردند [۷، ۱۲].



شکل (۱): نمایش تک خطی سیستم دو ترمیناله HVDC [۱۲]

Fig. (1): Single-line schematic of a two terminal HVDC system [12]



شکل (۲): مدار معادل سیستم دو ترمیناله HVDC [۱۲]

Fig. (2): Equivalent circuit for two terminal HVDC system [12]

حریان عبوری از کنورتر و امپدانس سری به صورت زیر می‌باشد:

$$\bar{I}_{cm} = \bar{I}_m = \bar{Y}_{cm} \times (\bar{V}_m - \bar{V}_{cm}) \quad (1)$$

که در آن،

$\bar{V}_m$ : فازور ولتاژ شین  $m$  ( $m=i,j$ )

$\bar{V}_{cm}$ : فازور ولتاژ ac در سمت مبدل متصل شده در گره  $m$ ،

$$\left( \bar{Y}_{cm} = \frac{1}{\bar{Z}_{cm}} = G_{cm} + jB_{cm} \right) \quad \text{امپدانس ترانسفورماتور}$$

توان مختلط تزریقی ( $S_{cm}$ ) ( $m=i,j$ ) توپوت مبدل به شین‌های  $i, j$

به صورت زیر بیان می‌شوند:

$$\bar{S}_{cm} = -\bar{V}_{cm} \bar{I}_{cm}^* = P_{cm} + jQ_{cm}, \quad (m = i, j) \quad (2)$$

$$P_{cm} = \text{Real}(\bar{S}_{cm}) = G_{cm} V_{cm}^2 - V_m V_{cm} \cdot [G_{cm} \cos(d_{cm} - q_m) + B_{cm} \sin(d_{cm} - q_m)] \quad (3)$$

$$Q_{cm} = \text{Image}(\bar{S}_{cm}) = -B_{cm} V_{cm}^2 - V_m V_{cm} \cdot [G_{cm} \sin(d_{cm} - q_m) - B_{cm} \cos(d_{cm} - q_m)] \quad (4)$$

که در آن،

(۲۲)

برنامه‌ریزی به عنوان ابزاری برای تکمیل طراحی و همچنین ارزیابی گزینه‌های توسعه مختلف به دست آمده از مطالعات برنامه‌ریزی مورد استفاده قرار می‌گیرند. مسئله پخش‌بار بهینه ابتدا در اوایل دهه ۱۹۶۰ توسط Carpenter و Dommel به تفضیل Tinney مطرح و توسط HVDC- معرفی گردید [۲، ۳].

بیشتر تحقیقات پیشین روی سیستم‌های HVDC مبتنی بر VSC<sup>2</sup> به مطالعه پخش‌بار متمرکز شده است، که عبارتند از: تجزیه و تحلیل پخش‌بار شبکه HVDC پنج ترمیناله با استفاده از روش تکرار عددی بر اساس تقریب نیوتن-رافسون [۴]، پیشنهاد دو مدل مناسب VSC-HVDC چند ترمیناله برای مطالعه پخش‌بار با استفاده از الگوریتم نیوتن [۵]، پخش‌بار متمرکز شده است، که عبارتند از VSC-HVDC چند ترمیناله با استفاده از الگوریتم پخش‌بار بهینه با استفاده از AC/DC ترتیبی توسط نرم‌افزارهای Matlab و Matpower [۶، ۷]، پخش‌بار سیستم با استفاده از روش ریاضی توسعه نرم‌افزار Matlab [۸]، و مدل پخش‌بار سیستم انتقال VSC-HVDC با استفاده از الگوریتم نیوتن-رافسون [۹]، [۱۰]، [۱۱] اخیراً مسئله پخش‌بار بهینه (OPF) در سیستم‌های HVDC مورد توجه قرار گرفته است که عبارتند از: پخش‌بار بهینه- VSC-HVDC برای کاهش هزینه سوخت ژنراتورها به عنوانتابع هدف با استفاده از الگوریتم نیوتن [۱۲]، پخش‌بار بهینه با استفاده از AC-DC الگوریتم ژنتیک [۱۳]، مسئله پخش‌بار بهینه با استفاده از روش برونه- سیستم‌های DC یک یا چند ترمیناله [۱۴].

تاکنون در تحقیقات انجام شده بر روی سیستم‌های HVDC به زمینه جایابی بهینه مبتنی بر OPF کنورترهای سیستم‌های HVDC توجه و پژوهش نشده است. بنابراین در این مقاله به پخش‌بار بهینه و جایابی بهینه مبتنی بر OPF در حضور دو سیستم دو ترمیناله HVDC در سیستم‌های قدرت می‌پردازیم. دلیل اول حضور دو سیستم قطعاً بهبود توابع هدف و دلیل دوم و پر اهمیت وجود خطوط پربار زیاد در شبکه بوده و به دنبال کاهش پرباری پربارترین خطوط و توازن توان بهتری در کلیه خطوط بوده‌ایم. برای مدل‌سازی ریاضی سیستم HVDC از تکنیک مدل تزریق توان استفاده شده است. راه حل پیشنهادی با استفاده از روش برنامه‌ریزی غیر خطی (NLP) و با استفاده از محیط نرم‌افزاری Matlab و GAMS<sup>3</sup> حل شده است. IEEE الگوریتم پیشنهادی برای سیستم‌های آزمایش ۱۴ و ۳۰ شینه در حضور دو سیستم دو ترمیناله HVDC به شکلی است که ضمن حداقل ساختن هزینه سوخت ژنراتورها و تلفات توان اکتبه شبکه، رعایت مجموعه‌ای از محدودیت‌ها را برای شبکه فراهم نماید.

این مقاله شامل این بخش‌ها می‌باشد: بخش (۲)، مدل‌سازی سیستم دو ترمیناله HVDC. بخش (۳)، فرمول‌بندی مسئله. در بخش (۴)، مطالعه موردي و در نهایت بخش (۵) به نتیجه‌گیری اختصاص یافته است.

ترانسفورماتورها می‌باشد.  $f(x,u)$  تابع هدف است که می‌تواند هزینه تولید کل، تلفات کل شبکه باشد.  $g(x,u)$  قیود نامساوی که معمولاً قیود پخش‌بار می‌باشد و  $h(x,u)$  قیود نامساوی که محدودیت‌های متغیرهای کنترل و محدودیت‌های بهره‌برداری سیستم قدرت می‌باشد. در ادامه به معرفی توابع هدف، قیود مساوی و نامساوی و قیود سیستم‌های HVDC خواهیم پرداخت.

### ۱-۲- توابع هدف

همانطور که گفته شد برای تأثیر حضور دو سیستم دو ترمینال HVDC بر نتایج پخش‌بار بهینه و جایابی بهینه مبتنی بر OPF از دو تابع هدف استفاده شده است این دو تابع هدف عبارتند از: هزینه سوخت ژنراتورها و تلفات توان اکتیو شبکه. در ادامه روابط مربوط به توابع هدف تشریح شده است.

#### ۱-۱-۲- تابع هزینه سوخت ژنراتورها

اولین تابع هدف حداقل نمودن هزینه سوخت ژنراتورها می‌باشد که رابطه آن به صورت زیر تعریف می‌شود [۱۷]، [۱۸] و [۱۹].

$$F_1 = \sum_{i=1}^{NG} (a_i + b_i P_{Gi} + c_i P_{Gi}^2), (\$/h) \quad (12)$$

که در آن،

تعداد ژنراتورها،  $NG$

توان اکتیو خروجی ژنراتور  $i$  ام بر حسب MW،  $P_{Gi}$   
ضرایب هزینه سوخت ژنراتور  $i$  ام می‌باشد.

#### ۲-۱-۲- تابع تلفات اکتیو شبکه

دومین تابع هدف حداقل نمودن مجموع تلفات شبکه با رابطه زیر می‌باشد [۲۰]، [۲۱].

(۱۳)

$$F_2 = P_{loss}(x, u) = \sum_{i=1}^{NI} g_k [V_i^2 + V_j^2 - 2V_i V_j \cos(\theta_i - \theta_j)] \quad \text{که در آن،}$$

$g_k$ : کندوکتانس خط  $k$  ام بین شین  $i$  و  $j$ .

$V_i$  و  $V_j$ : بهترین دامنه ولتاژ در شین  $i$  و  $j$ .

$\theta_i$  و  $\theta_j$ : زاویه ولتاژ در شین  $i$  و  $j$ .  $NI$  تعداد خطوط می‌باشد.

#### ۲-۲- قیود مساوی و نامساوی

به طور کلی مساله OPF و جایابی بهینه مبتنی بر OPF شامل دو مجموعه قیود مساوی و نامساوی می‌باشد که به ترتیب با روابط (۱۰) و (۱۱) بیان گردید [۱۵]، [۱۶]. در این بخش قیود مساوی و نامساوی تشریح می‌گردد.

#### ۲-۲-۱- قیود مساوی

قیود مساوی معادلات پخش بار برای توان‌های اکتیو و راکتیو می‌باشند که به صورت زیر بیان می‌شوند [۱۶]، [۲۰] و [۲۱]:

(۲۳)

$V_m, \theta_m$ : به ترتیب اندازه و زاویه ولتاژ شین  $m$  ( $m=i,j$ )  
 $\delta_m$ : به ترتیب اندازه و زاویه ولتاژ  $ac$  در سمت مبدل متصل شده در گره  $m$ ،  
 $\bar{S}_{cm}, P_{cm}, Q_{cm}$ : به ترتیب توان‌های مختلط، اکتیو و راکتیو تزریقی توسط مبدل به شین  $m$  می‌باشد.  
توان مختلط تزریقی  $S_{cm}$  به شین‌های  $j$  ( $m=i,j$ ) به صورت زیر بیان می‌شوند:

$$\bar{S}_m = -\bar{V}_m \bar{I}_m^* = P_m + jQ_m, (m = i, j) \quad (5)$$

$$P_m = \operatorname{Real}(\bar{S}_m) = -G_{cm} V_m^2 + V_m V_{cm} \\ \cdot [G_{cm} \cos(q_m - d_{cm}) + B_{cm} \sin(q_m - d_{cm})] \quad (6)$$

$$Q_m = \operatorname{Image}(\bar{S}_m) = -B_{cm} V_m^2 + V_m V_{cm} \\ \cdot [B_{cm} \cos(\theta_m - \delta_{cm}) + G_{cm} \sin(\theta_m - \delta_{cm})] \quad (7)$$

که در آن،

$P_m, Q_m$ : توان‌های اکتیو و راکتیو تزریقی به شین  $m$  می‌باشد.

توان اکتیو عبوری از کنورترها در طول اتصال DC ( $R_{DC} > 0$ ) همواره

باید شرط زیر را برآورده نماید:

$$\operatorname{Real}\{\bar{V}_{ci} \bar{I}_{ci}^* + \bar{V}_{cj} \bar{I}_{cj}^*\} + P_{DC}^{\text{loss}} = 0 \quad (8)$$

که در آن،  $P_{DC}^{\text{loss}}$  تلفات بخش DC می‌باشد.

و برای اتصال به صورت پشت به پشت کنورترهای سیستم HVDC

صفر در نظر گرفته خواهد شد.

### ۳- فرمول بندی مسئله

جایابی بهینه مبتنی بر OPF و پخش‌بار بهینه (OPF) در واقع یک فرآیند تکراری است که با استفاده از روش‌های بهینه‌سازی ریاضی، درصد یافتن مناسب‌ترین الگوی بهره‌برداری از سیستم است که ضمن رعایت همه قیود بهره‌برداری، برخی معیارها که در تابع هدف مسئله تبلور یافته‌اند را بهینه سازد.

رابطه ریاضی مسئله OPF به صورت زیر می‌باشد [۱۵]، [۱۶]:

$$\operatorname{Min/max} f(x, u) \quad (9)$$

با توجه به اینکه،

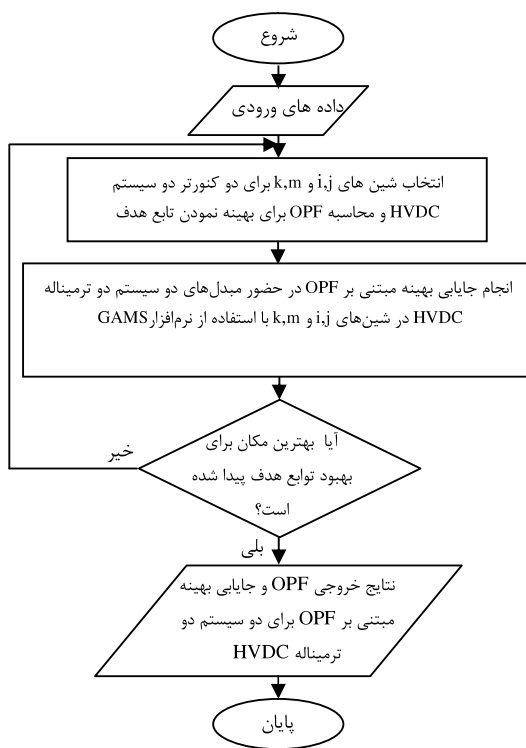
$$g(x, u) = 0 \quad (10)$$

$$h(x, u) \leq 0 \quad (11)$$

که  $x$  متغیرهای وابسته (یا حالت) شامل توان اکتیو و راکتیو شین اصلی، زاویه ولتاژ و توان راکتیو شین‌های ژنراتوری و دامنه و زاویه شین‌های بار می‌باشد.  $u$  متغیرهای کنترل شامل توان اکتیو و دامنه و ولتاژ شین‌های ژنراتوری، دامنه و زاویه ولتاژ شین اصلی و موقعیت تپ

### ۳-۲- بیان مسئله

اصلًا مسائل OPF و جایابی بهینه کنورترهای دو سیستم دو ترمیناله HVDC مبتنی بر OPF یک مقدار با هم متفاوت می‌باشد. در مسئله OPF، محل تجهیزات شبکه، حدود مجاز تولید ژنراتورها، حدود مجاز تغییرات دامنه ولتاژ شین‌ها، حداکثر میزان بارگذاری خطوط و سایر محدودیت‌های سیستم و تجهیزات آن مشخص است. لذا سعی بر این است که با وجود این محدودیت‌ها، شرایط بهره‌برداری از آنها برای رسیدن به بهترین حالت یک تابع هدف به دست آید. ولی در مسئله جایابی بهینه، یک سری تجهیزات در حالت کلی مسئله، از لحاظ مکان قرارگیری، ظرفیت و تعداد نامعلوم می‌باشد و سعی بر این است که وضعیت تجهیزات جایابی شونده، جهت رسیدن به بهترین وضعیت یک تابع هدف به دست آید. این مسئله در دل خود یک محل برای تجهیز جایابی بهینه دارد. در واقع در مسائل جایابی ابتدا یک محل برای تجهیز جایابی شونده مشخص می‌شود، سپس برای آن حالت یک پخش‌بار بهینه حل شده و با استفاده از آن مقدار تابع هدف محاسبه می‌گردد. این کار آن‌قدر تکرار می‌شود تا شرایط توقف الگوریتم جایابی محقق شود. پس از اینکه جایابی بهینه انجام شد. در این مرحله پخش‌بار بهینه با در نظر گرفتن جایگاه ثابت شده برای کنورترهای دو سیستم دو ترمیناله HVDC انجام خواهد شد و مقدار بهینه شده تابع هدف مشخص می‌گردد. روند نمای الگوریتم پیشنهادی در شکل (۳) نشان داده شده است.



شکل (۳): روند نمای الگوریتم پیشنهادی  
Fig. (3): Flowchart of the proposed algorithm

$$P_{Gi} + P_{ci} - P_{Li} - V_i \sum_{j=1}^{Nb} V_j [G_{ij} \cos(\delta_i - \delta_j) + B_{ij} \sin(\delta_i - \delta_j)] = 0 \quad (14)$$

$$Q_{Gi} + Q_{ci} - Q_{Li} - V_i \sum_{j=1}^{Nb} V_j [G_{ij} \sin(\delta_i - \delta_j) - B_{ij} \cos(\delta_i - \delta_j)] = 0 \quad (15)$$

$$P_{ci} + P_{cj} + P_{DC}^{\text{loss}} = 0 \quad (16)$$

که در آن،

$P_{Gi}$  و  $Q_{Gi}$ : بهترتب توان‌های اکتیو و راکتیو خروجی ژنراتور  $i$  ام،  $P_{Li}$  و  $Q_{Li}$ : بهترتب توان‌های اکتیو و راکتیو بار در شین  $i$  ام،  $G_{ij}$  و  $B_{ij}$ : بهترتب کندوکتانس و سوسپیتانس انتقالی بین شین  $i$  ام و  $j$  ام،  $V_i$  و  $V_j$ : بهترتب توان‌های اکتیو و راکتیو در سمت ac مبدل  $i$  ام و  $Nb$ : تعداد شین‌ها می‌باشد.

### ۲-۲-۳- قیود نامساوی

قیود نامساوی شامل قیود تولید، امنیت و قیود VSC-HVDC می‌باشد که در زیر شرح داده می‌شوند [۲۱]، [۲۲] و [۲۳]:

#### ۱-۲-۲-۳- قیود تولید

شامل محدودیت‌های روی ولتاژ و توان‌های اکتیو و راکتیو خروجی ژنراتورهاست.

$$V_{Gi}^{\min} \leq V_{Gi} \leq V_{Gi}^{\max}, i=1, \dots, NG \quad (17)$$

$$P_{Gi}^{\min} \leq P_{Gi} \leq P_{Gi}^{\max}, i=1, \dots, NG \quad (18)$$

$$Q_{Gi}^{\min} \leq Q_{Gi} \leq Q_{Gi}^{\max}, i=1, \dots, NG \quad (19)$$

که در آن، NG تعداد شین‌های ژنراتورهاست.

#### ۲-۲-۲-۳- قیود امنیت

شامل محدودیت‌های روی ولتاژ شین‌های بار و بارگذاری خطوط انتقال می‌باشد.

$$V_{Li}^{\min} \leq V_{Li} \leq V_{Li}^{\max}, i=1, \dots, Nd \quad (20)$$

$$S_{Li} \leq S_{Li}^{\max}, i=1, \dots, Nl \quad (21)$$

که در آن، Nd و Nl بهترتب شین‌های بار و خطوط انتقال است.

### ۳-۲-۲-۳- قیود VSC-HVDC

این قیود شامل محدودیت‌های روی توان و تنظیمات می‌باشد.

$$S_{VSC,i} \leq S_{VSC,i}^{\max}, i=1, \dots, Nc \quad (22)$$

$$0 \leq V_{ci} \leq V_{ci}^{\max}, i=1, \dots, Nc \quad (23)$$

$$0 \leq \delta_{ci} \leq 2\pi, i=1, \dots, Nc \quad (24)$$

که در آن، Nc تعداد مبدل‌هاست.

با حضور دو سیستم HVDC نشان داده شده است. مشخصه همگرائی سیستم ۱۴ شینه IEEE برای توابع هدف هزینه سوخت ژنراتورها و تلفات توان اکتیو شبکه به ترتیب در شکل‌های (۴) و (۵) نشان داده شده است.

#### ۲-۴-سیستم آزمون ۳۰ شینه IEEE

سیستم آزمون ۳۰ شینه IEEE شامل ۶ ژنراتور(شین‌های ۱، ۲، ۵، ۸، ۱۱ و ۱۳ که شین ۱ به عنوان شین مبناست) و ۴۱ خط می‌باشد. اثراتی از حضور دو سیستم دو ترمیناله HVDC به منظور بهره‌برداری بهینه برای سیستم آزمایش ۳۰ شینه IEEE بررسی شده است. نتایج شبیه‌سازی قابلیت حضور دو سیستم دو ترمیناله HVDC در عملکرد سیستم قدرت از نظر اقتصادی و فنی با PST و OUPFC در جدول (۵) شرح داده شده است. هدف از این مقایسه، مقایسه بین کنترل کننده‌های پخش توان AC و DC در عملکرد بهینه سیستم‌های قدرت بوده است. در جدول (۶) تلفات خطوط برای قبل از حضور HVDC و با حضور دو سیستم HVDC نشان داده شده است. مشخصه همگرائی سیستم ۳۰ شینه IEEE برای توابع هدف هزینه سوخت ژنراتورها و تلفات توان اکتیو شبکه به ترتیب در شکل‌های (۶) و (۷) نشان داده شده است.

#### ۴- مطالعه موردی

روش پیشنهادی برای پخش بار بهینه مبتنی بر جایابی بهینه برای کاهش هزینه سوخت ژنراتورها و تلفات اکتیو برای شبکه‌های استاندارد ۱۴ و ۳۰ شینه IEEE مورد بررسی قرار گرفته است. روش بهینه‌سازی عددی با استفاده از محیط نرم‌افزاری Matlab و GAMS و حل شده است. اطلاعات شبکه مورد آزمایش IEEE را می‌توان در مرجع [۲۲] پیدا کرد.

#### ۴-۱-سیستم آزمون ۱۴ شینه IEEE

سیستم آزمون ۱۴ شینه IEEE شامل ۵ ژنراتور(شین‌های ۱، ۲، ۳، ۶ و ۸ که شین ۱ به عنوان شین مبناست) و ۲۰ خط می‌باشد. حضور همزمان دو سیستم دو ترمیناله HVDC بر روی سیستم آزمایش ۱۴ شینه IEEE مطالعه شده است. نتایج شبیه‌سازی دو سیستم دو ترمیناله HVDC از لحاظ اقتصادی و فنی با<sup>۳</sup> PST و<sup>۴</sup> OUPFC بر روی سیستم آزمایش ۱۴ شینه IEEE در جدول (۱) به ترتیب برای هزینه سوخت ژنراتورها و تلفات توان اکتیو شبکه به عنوان توابع هدف نشان داده شده است. هدف از این مقایسه، مقایسه بین کنترل کننده‌های پخش توان AC و DC در عملکرد بهینه سیستم‌های قدرت بوده است. در جدول (۲) تلفات خطوط برای قبل از حضور HVDC و

Table (1): Results of optimization for the IEEE 14-bus network

جدول (۱): نتایج بهینه‌سازی برای شبکه ۱۴ شینه IEEE

وضعیت	پارامتر	بدون جبرانساز	PST [۱۷]	OUPFC [۲۱]	HVDC با دو سیستم
$F_1$	حداقل هزینه سوخت (\$/h)	17278.80	17270.35	17254.2	17204.91
	مجموع تلفات اکتو (MW)	1.7128	1.5987	1.384	0.7196
	مجموع تلفات راکتیو (MVAR)	14.2818	12.1315	13.551	10.49997
	محل نصب	-	خط ۱-۵	خط ۱-۲	شین‌های ۱ و ۲ و شین‌های ۱ و ۴
	زمان اجرا (ثانیه)	0.2020	2.8026	-	92.6131
$F_2$	حداقل مجموع هزینه تلفات اکتیو شبکه (MW)	1.1280	1.0850	1.020	0.5442
	هزینه سوخت (\$/h)	18186.62	18153.08	-	17534.04
	مجموع تلفات راکتیو (MVAR)	12.2680	12.202	12.017	11.4199
	محل نصب	-	خط ۲-۵	خط ۶-۱۳	شین‌های ۱ و ۲ و شین‌های ۱ و ۱۴
	زمان اجرا (ثانیه)	0.1987	2.7353	-	93.2482

Table (2): Overload lines losses for the IEEE 14-bus network

جدول (۲): تلفات پریارترین خطوط برای شبکه ۱۴ شینه IEEE

تلفات (MW):	خط ۱	خط ۲	خط ۳	خط ۴	خط ۵	خط ۱۳	خط ۱۵	خط ۱۷
$F_1$	42.6406	23.1485	21.1342	19.6235	15.0635	16.5557	44.7456	10.9011
	2.2103	2.8369	12.0711	0.3049	3.0666	15.7936	46.2281	11.8632
$F_2$	12.1130	9.8870	18.0185	13.2697	8.6106	19.4601	38.9907	7.3491
	-0.0028	3.8999	15.7992	8.7515	5.0931	10.8906	32.043	-6.1201

Table (3): Buses voltage that converters are connected (before and after installing converters) to the IEEE 14-bus network

جدول (۳): ولتاژ شین‌هایی که مبدل‌ها به آنها متصل شده‌اند (قبل و بعد از نصب مبدل‌ها) برای شبکه ۱۴ شینه IEEE

برای تابع هدف اول (هزینه سوخت ژنراتورها)				
بعد از نصب مبدل‌ها		قبل از نصب مبدل‌ها		
شماره شین	ولتاژ شین (p.u.)	فاز شین (degree)	ولتاژ شین (p.u.)	فاز شین (degree)
1	1.055	0	1.043	0
2	1.047	-1.304	1.043	-0.004
4	1.031	-3.043	1.043	-0.107

برای تابع هدف دوم (تلفات اکتیو شبکه)				
بعد از نصب مبدل‌ها		قبل از نصب مبدل‌ها		
شماره شین	ولتاژ شین (p.u.)	فاز شین (degree)	ولتاژ شین (p.u.)	فاز شین (degree)
1	1.035	0	1.027	0
2	1.032	-0.367	1.027	0.002
14	1.022	-2.347	1.058	1.162

Table (4): Parameters values of HVDC after the optimization and selection of the optimum point for IEEE 14-bus network

جدول (۴): مقادیر پارامترهای HVDC پس از بهینه‌سازی و انتخاب نقطه بهینه برای شبکه ۱۴ شینه IEEE

برای تابع هدف اول (هزینه سوخت ژنراتورها)				
HVDC-2		شماره اندیس (m)	HVDC-1	
زاویه ولتاژ روی کنورتر ( $\delta_{Cm}$ ) (degree)	ولتاژ روی کنورتر ( $V_{Cm}$ ) (p.u.)		زاویه ولتاژ روی مبدل‌ها ( $\delta_{Cm}$ ) (degree)	ولتاژ روی کنورتر ( $V_{Cm}$ ) (p.u.)
0.0094	1.026	1	1.026	1.0432
1.1426	1.0587	4	1.0587	1.0428

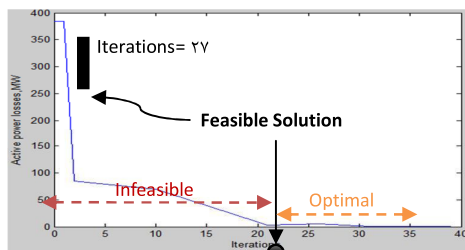
برای تابع هدف دوم (تلفات اکتیو شبکه)				
HVDC-2		شماره اندیس (m)	HVDC-1	
زاویه ولتاژ روی کنورتر ( $\delta_{Cm}$ ) (degree)	ولتاژ روی کنورتر ( $V_{Cm}$ ) (p.u.)		زاویه ولتاژ روی مبدل‌ها ( $\delta_{Cm}$ ) (degree)	ولتاژ روی کنورتر ( $V_{Cm}$ ) (p.u.)
0.0094	1.0260	1	0.0057	1.0266
1.1426	1.0587	14	-0.0057	1.0262

(۱) مشاهده می‌شود حضور دو سیستم HVDC نسبت به PST و OUPFC در عملکرد بهینه سیستم قدرت مؤثرتر خواهد بود. از نتایج جدول (۲) در می‌باییم که حضور دو سیستم HVDC از پرباری پربارترین خطوط کاسته و توزیع توان رضایت‌بخش‌تری را در کلیه خطوط به همراه داشته است. در جدول (۳) و (۴) به ترتیب ولتاژ شین‌هایی که مبدل‌ها به آنها متصل شده‌اند (قبل و بعد از نصب مبدل‌ها) و مقادیر پارامترهای HVDC پس از بهینه‌سازی و انتخاب نقطه بهینه، نشان داده شده است.

مشخصات همگرایی سیستم IEEE ۱۴ شینه برای تابع هدف هزینه سوخت ژنراتورها و تلفات توان اکتیو شبکه به ترتیب در شکل‌های (۴) و (۵) نشان داده شده است.

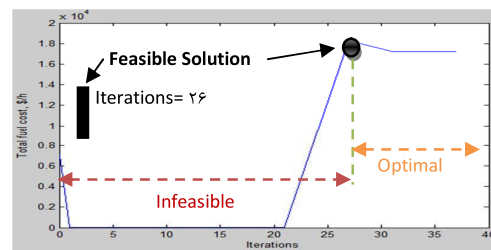
نقطه Feasible Solution جواب ممکن (یا جواب شدنی) را پس از یک سری تکرار به ما می‌دهد، جواب‌ها تا قبل تکراری که جواب ما ممکن می‌باشد، جواب‌هایی غیرممکن (Infeasible) بوده و جواب‌های به دست آمده پس از نقطه Feasible به عنوان پاسخ‌های بهینه (Optimal) به حساب می‌آیند و به سمت نقطه بهینه نهایی همگرا می‌شود.

از اطلاعات جدول (۲) می‌توان نتیجه گرفت که تلفات خطوط در حضور سیستم‌های HVDC بهدلیل توزیع مناسب توان در خطوط انتقال نسبت به حالت بدون نصب HVDC کاهش یافته و در نتیجه آن، کاهش مجموع تلفات توان اکتیو (به عنوان تابع هدف دوم) را خواهیم داشت و می‌توان نتیجه گرفت با کاهش تلفات خطوط انتقال، تولید توان اکتیو ژنراتورها کاهش یافته و طبق رابطه (۱۲) موجب کاهش مجموع هزینه سوخت ژنراتورها (به عنوان تابع هدف دوم) می‌شود. با این توضیحات، با توجه به نتایج شبیه‌سازی در جدول (۱) در می‌باییم که حضور اتصال دو سیستم HVDC باعث کاهش هزینه سوخت ژنراتورها و کاهش تلفات شبکه خواهد شد. در حالت اتصال دو سیستم HVDC در بهینه‌سازی هزینه سوخت ژنراتورها به عنوان تابع هدف اول، هزینه سوخت ۰/۴۲ درصد، تلفات اکتیو شبکه ۵۸ درصد و تلفات توان راکتیو شبکه ۲۶ درصد نسبت به وضعیت بدون جبران‌ساز کاهش یافته است. برای تابع هدف دوم نیز تلفات اکتیو شبکه ۵۱/۷ درصد، هزینه سوخت ۳/۵۸ درصد و تلفات توان راکتیو شبکه ۶/۹ درصد نسبت به وضعیت بدون جبران‌ساز کاهش یافته است. در هر دو حالت بهینه سازی توابع هدف مشاهده می‌نماییم که تلفات توان اکتیو و راکتیو به خوبی کاهش یافته است و همان‌طور که از نتایج جدول



شکل (۵): مشخصه همگرایی برای سیستم ۱۴ شینه IEEE برای تلفات توان اکتیو

Fig. (5): Convergence characteristic of IEEE 14-bus system for active power losses



شکل (۴): مشخصه همگرایی برای سیستم ۱۴ شینه IEEE برای هزینه سوخت ژنراتورها

Fig. (4): Convergence characteristic of IEEE 14-bus system for fuel cost of generators

Table (5): Results of optimization for the IEEE 30-bus network

جدول (۵): نتایج بهینه‌سازی برای شبکه ۳۰ شینه IEEE

وضعیت	پارامتر	بدون جبرانساز	PST [۲۱]	OUPFC [۲۱]	با دو سیستم HVDC
حداقل هزینه سوخت (\$/h)		802.25	802.229	800.852	778.73
مجموع تلفات اکتیو (MW)		9.4471	9.441	9.144	3.2429
مجموع تلفات راکتیو (MVAR)	$F_1$	37.7895	38.428	37.231	16.0288
محل نسب		-	-	-	خط ۴-۶ و شین‌های ۱ و ۲ و شین‌های ۱ و ۶
زمان اجرا (ثانیه)		1.1148	-	-	103.561
حداقل مجموع هزینه تلفات اکتیو شبکه (MW)		3.2907	3.286	3.090	1.8372
هزینه سوخت (\$/h)		968.12	-	-	835.69
مجموع تلفات راکتیو (MVAR)	$F_2$	16.2458	17.356	16.500	11.0590
محل نسب		-	-	-	خط ۶-۷ و شین‌های ۱ و ۲ و شین‌های ۱ و ۵
زمان اجرا (ثانیه)		0.895	-	-	104.248

Table (6): Overload lines losses for the IEEE 30-bus network

جدول (۶): تلفات پریارترین خطوط برای شبکه ۳۰ شینه IEEE

تلفات (MW):											
خط ۱۸	خط ۱۵	خط ۱۴	خط ۹	خط ۷	خط ۶	خط ۵	خط ۴	خط ۳	خط ۲	خط ۱	
18.22	30.56	30.62	34.61	48.93	43.83	63.037	57.65	32.665	61.62	114.70	$F_1$
15.783	25.429	32.368	56.706	-26.70	-3.316	41.738	5.082	3.105	7.508	15.592	
20.55	9.36	32.86	۲۸/۴۹	24.44	25.40	39.42	22.45	19.93	25.12	26.572	$F_2$
20.154	8.447	33.415	0.811	7.358	15.491	1.112	10.157	13.997	12.632	0.757	

Table (7): Buses voltage that converters are connected (before and after installing converters) to the IEEE 30-bus network

جدول (۷): ولتاژ شین‌هایی که مبدل‌ها به آنها متصل شده‌اند (قبل و بعد از نصب مبدل) برای شبکه ۳۰ شینه IEEE

برای تابع هدف اول (هزینه سوخت ژنراتورها)				
بعد از نصب مبدل‌ها		قبل از نصب مبدل‌ها		
(degree)	ولتاژ شین (p.u.)	زاویه شین (degree)	زاویه شین (p.u.)	شماره شین
0	1.052	0	1.060	1
0.041	1.052	-3.445	1.042	2
-0.195	1.052	-7.560	1.017	6

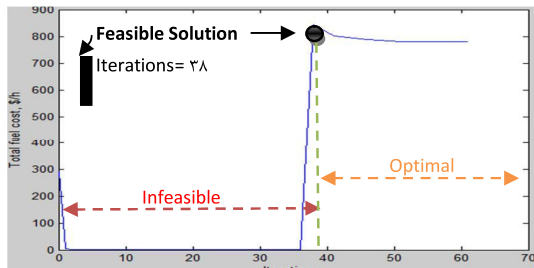
  

برای تابع هدف دوم (تلفات اکتیو شبکه)				
بعد از نصب مبدل‌ها		قبل از نصب مبدل‌ها		
(degree)	ولتاژ شین (p.u.)	زاویه شین (degree)	زاویه شین (p.u.)	شماره شین
0	1.046	0	1.060	1
-0.025	1.046	-0.791	1.056	2
-0.146	1.046	-4.825	1.036	5

Table (8): Parameters values of HVDC after the optimization and selection of the optimum point for IEEE 30-bus network

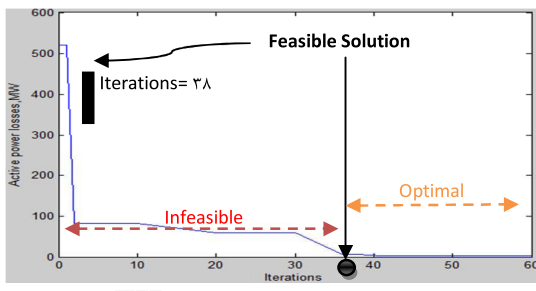
جدول (۸): مقادیر پارامترهای HVDC پس از بهینه‌سازی و انتخاب نقطه بهینه برای شبکه ۳۰ شینه IEEE

برای تابع هدف اول (هزینه سوخت ژنراتورها)					
HVDC-2		HVDC-1			
شماره اندیس	ولتاژ روى کنورت (V <sub>Cm</sub> ) (p.u.)	شماره اندیس	ولتاژ روى کنورت (V <sub>Cm</sub> ) (p.u.)		
(δ <sub>Cm</sub> ) (degree)	ولتاژ روى کنورت (V <sub>Cm</sub> ) (p.u.)	(δ <sub>Cm</sub> ) (degree)	ولتاژ روى کنورت (V <sub>Cm</sub> ) (p.u.)		
0.0118	1.0480	1	0.0052	1.0615	1
-0.1882	1.0480	6	0.0367	1.0523	2
برای تابع هدف دوم (تلفات اکتیو شبکه)					
0.0118	1.0480	1	0.1048	1.0644	1
-0.1882	1.0480	5	-0.0274	1.0454	2



شکل (۶): مشخصه همگرایی برای سیستم ۳۰ شینه IEEE برای هزینه سوخت ژنراتورها

Fig. (6): Convergence characteristic of IEEE 30-bus system for fuel cost of generators



شکل (۷): مشخصه همگرایی برای سیستم ۳۰ شینه IEEE برای تلفات توان اکتیو

Fig. (7): Convergence characteristic of IEEE 30-bus system for active power losses

## ۵- نتیجه گیری

سیستم انتقال VSC-HVDC ترکیبی از جدیدترین فناوری‌ها در زمینه نیمه‌هادی، کنترل و کابل‌های انتقال توان است. با استفاده از این سیستم می‌توان کیفیت توان را در سیستم‌های انتقال بهبود بخشید. استفاده از سیستم‌های HVDC یک راه حل فعال برای ادغام مزارع بادی موجود در دریا (و سایر روش‌های تولید انرژی الکتریکی در دریا) با سایر نیروگاه‌ها در خشکی حتی در حالت سنکرونیزه نبودن و در مسافت‌های طولانی می‌باشد. از این‌رو در این مقاله مناسب‌ترین الگوی بهره‌برداری با حضور دو سیستم دو ترمیناله HVDC بررسی شده است. در این مقاله، سیستم دو ترمیناله HVDC معرفی می‌شود که برای برنامه‌ریزی بهره‌برداری بهینه سیستم قدرت استفاده شده است. مدل

بهطور مشابه، از اطلاعات جدول (۶) می‌توان نتیجه گرفت که تلفات خطوط در حضور سیستم‌های HVDC بهدلیل توزیع مناسب توان در خطوط انتقال نسبت به حالت بدون نصب HVDC کاهش یافته و در نتیجه آن، کاهش مجموع تلفات توان اکتیو را خواهیم داشت (به عنوان تابع هدف دوم) و می‌توان نتیجه گرفت با کاهش تلفات خطوط انتقال، تولید توان اکتیو ژنراتورها کاهش یافته و طبق رابطه (۱۲) موجب کاهش مجموع هزینه سوخت ژنراتورها (به عنوان تابع هدف دوم) نیز باشد. با این توضیحات، نتایج شبیه‌سازی در جدول (۳) نشان می‌شود. با این توضیحات، نتایج شبیه‌سازی در جدول (۴) نشان می‌دهد که حضور اتصال دو سیستم HVDC در شبکه ۳۰ شینه IEEE نیز باعث کاهش هزینه سوخت ژنراتورها و کاهش تلفات شبکه خواهد شد. در حالت اتصال دو سیستم HVDC در بهینه‌سازی هزینه سوخت ژنراتورها به عنوان تابع هدف اول، هزینه سوخت ۲/۹۳ درصد، تلفات اکتیو شبکه ۶۵/۶۷ درصد و تلفات توان راکتیو شبکه ۵۷/۵۸ درصد نسبت به وضعیت بدون جبران‌ساز کاهش یافته است. در بهینه سازی تلفات توان اکتیو شبکه به عنوان تابع هدف دوم نیز تلفات اکتیو شبکه ۴۴/۱۷ درصد، هزینه سوخت ۱۳/۶۸ درصد و تلفات توان راکتیو شبکه ۳۱/۹۲۷ درصد نسبت به وضعیت بدون جبران‌ساز کاهش یافته است. در هر دو حالت بهینه سازی توابع هدف مشاهده می‌نماییم که تلفات توان اکتیو و راکتیو به خوبی کاهش یافته است و همانطور که از نتایج جدول (۳) مشاهده می‌شود حضور دو سیستم OUPFC در شبکه ۳۰ شینه IEEE نیز نسبت به PST و

در عملکرد بهینه سیستم قدرت مؤثرتر خواهد بود. بهطور مشابه، از نتایج جدول (۴) در می‌یابیم که حضور دو سیستم HVDC از پرباری پربارترین خطوط کاسته و توزیع توان راضیت‌بخش‌تری را در کلیه خطوط به همراه داشته است. در جدول (۷) و (۸) به ترتیب ولتاژ شین‌هایی که مدل‌های آنها به آنها متصل شده‌اند (قبل و بعد از نصب مدل‌های) و مقادیر پارامترهای HVDC پس از بهینه‌سازی و انتخاب نقطه بهینه، نشان داده شده است.

مشخصات همگرایی سیستم ۳۰ شینه IEEE برای توابع هدف هزینه سوخت ژنراتورها و تلفات توان اکتیو شبکه به ترتیب در شکل‌های (۶) و (۷) نشان داده شده است.

با توجه به این که کشور عزیzman ایران به واسطه وسعت جغرافیایی و به ویژه فاصله طولانی بین مراکز تولید بالقوه برق در جنوب و مراکز بزرگ مصرف شمال، وجود جزایر متعدد که برخی از آنها در آینده به عنوان مراکز تجاری مهم با مصرف بالای انرژی در منطقه مطرخ خواهد بود و اتصال شبکه سراسری به شبکه کشورهای همسایه برای مبادلات انرژی، در آینده نه چندان دور به شدت نیازمند تکنولوژی‌های توامند و به صرفه انتقال انرژی از جمله HVDC خواهد بود.

#### پی‌نوشت:

1- High Voltage Direct Current

تزریق توان برای شبیه‌سازی اثرات دو سیستم دو ترمیناله HVDC در محاسبات پخش‌بار بهینه و جایابی بهینه می‌تواند به OFP استفاده شده است. هزینه سوخت زنراتورها و تلفات توان اکتویو به عنوان توابع هدف در نظر گرفته شده‌اند و شبیه‌سازی انجام شده روی سیستم‌های ۱۴ و ۳۰ IEEE نشان دهنده کارآیی مناسب این الگوریتم در بهینه‌سازی توابع هدف و تنظیمات سیستم HVDC نسبت به PST و OUPFC می‌باشد و از طرفی از پیاره‌ترین خطوط کاسته و توازن توان رضایت‌بخش‌تری را در کلیه خطوط برق را در حفظ می‌کند. با توجه به نتایج می‌توان نتیجه گرفت که اگر کنوترهای HVDC به شین‌های خطوطی که توان بیشتری را انتقال می‌دهند متصل گردند بهره‌برداری بهینه‌تری را از شبکه خواهیم داشت.

#### References

- [1] M.P. Bahrman, B. K.Johnson, "The ABCs of HVDC transmission technologies", IEEE Power and Energy Magazine, Vol. 5, No. 2, PP. 32-44, 2007.
- [2] J. Crpentier, "Contribution e l'étude do dispatching economique", Bulletin Society Francaise Electriciens, PP. 431-447, 1962.
- [3] H.W.Dommel, W.F.Tinney, "Optimal power flow solutions", IEEE Trans. on Pow. Aapp. and Sys. Vol. PAS-87, No. 10, pp. 1866-1876, Oct. 1968.
- [4] T.M.Haileselassie, K.Uhlen, "Power flow analysis of multi-terminal HVDC networks", IEEE Trondheim Power Tech, pp. 1-6, 2011.
- [5] X.P. Zhang, "Multiterminal voltage-sourced converter-based HVDC models for power flow analysis", IEEE Trans. on Power System, Vol. 19, No. 4, pp. 1877-1884, 2004.
- [6] J.Beerten, S.Cole, R.Belmans, "Generalized steady-state VSC MTDC model for sequential AC/DC power flow algorithm", IEEE Trans. on Power System, Vol. 27, No. 2, pp. 821-829, 2012.
- [7] J.Beerten, S.Cole, R.Belmans, "A sequential AC/DC power flow algorithm for networks containing multi-terminal VSC HVDC system", IEEE Power and Energy Society General Meeting, pp. 1-7, 2010.
- [8] M.Baradar, M.Ghandhari, D.Van Hertem, "The modeling multi-terminal VSC-HVDC in power flow calculation using unified methodology", IEEE PES International Conference and Exhibition on Innovative Smart Grid Technologies, pp. 1-6, 2011.
- [9] J.Beerten, S.Cole, R.Belmans, "Implementation aspects of a sequential AC/DC power flow computation algorithm for muti-terminal VSC HVDC systems", IET International Conference on AC and DC Power Transmission, pp. 1-6, 2010.
- [10] S.H. Lee, Chu.Chia-Chi, "A web-based power Flow calculation of large-scale power systems embedded with VSC-based HVDC systems", IEEE/PES Transmission and Distribution Conference and Exhibition: Asia and Pacific, pp. 1-9, 2005.
- [11] A.Panosyan, B.R.Oswald, "Modified newton-raphson load flow analysis for integrated AC/DC power systems", International Universities Power Engineering Conference, Vol. 3, pp. 1223-1227, 2004.
- [12] A.Pizano-Martinez, C.R.Fuerte-Esquivel, H.Ambriz-Perez, "Modeling of VSC-based HVDC systems for a Newton Raphson OPF algorithm", IEEE Trans. on Power Systems, Vol. 22, No. 4, pp. 1794-1803, 2007.
- [13] S.B.Warkad, M.K.Khedkar, G.M.Dhole, "A genetic algorithm approach for solving AC-DC optimal power flow problem", Journal of Theoretical and Applied Information Technology, Vol. 6, No. 1, pp. 27-39, 2009.
- [14] C.N.Lu, S.S.Chen, C.M.Ing, "The incorporation of HVDC equations in optimal power flow methods using sequential quadratic programming techniques", IEEE Trans. on Power Systems, Vol. 3, No. 3, pp. 1005-1011, 1988.
- [15] M. R. Alrashidi, M. E. El-Hawary, "Application of computatinal intelligence techniques for solving the revived optimal power flow problem", Electric Power Systems Research, Vol. 79, No. 4, pp. 694-702, 2009.
- [16] A. Lashkarara, A. Kazemi, S.A. Nabavi Niaki, "Optimal location of hybrid flow controller considering modified steady-state model", Applied Energy, Vol. 88, No. 5, pp. 1578-1585, 2011.
- [17] A. Lashkarara, A. Kazemi, S.A.Nabavi Niaki, "Multiobjective optimal location of FACTS shunt- series controllers for power system operation planning", IEEETrans. on power Delivery, 2011 (Accepted).
- [18] M.Noroozian, L.Angquist, M.Ghandhari, G.Andersson, "Use of UPFC for optimal power flow control", IEEE Trans. Pow. Del., Vol. 12, pp. 1629-1634, 1997.
- [19] M.A.Abido, "Optimal power flow using particle swarm optimization", Elect. Pow. Ene. Sys., Vol. 24, No. 7, pp. 563-571, 2002.
- [20] M.Varadarajan, K.S.Swarup, "Solving multi-objective optimal power flow using differential evolution", IET Gen. Trans. and Dis., Vol. 2, No. 5, pp. 720-730, 2008.

- [21] A.Lashkarara, A.Kazemi, S.A.Nabavi Niaki, "Modelling of optimal unified power flow controller (OUPFC) for optimal steady-state performance of power systems", Energy Convers Manage, Vol. 52, pp. 1325-1333, 2011.
- [22] Power systemsTest case, The University of WashingtonArchivehttp://www.ee.washington.edu/research/pstca [accessed21.01.08].

اطلاعات ژنراتورهای سیستم ۳۰ شینه [22]		اطلاعات ژنراتورهای سیستم ۱۴ شینه [22]	
محدودیت	تابع هدف	محدودیت	تابع هدف
$50 < P_{G1} < 200$	$C_1 = 0 + 2P_{G1} + 0.00375P_{G1}^2$	$22 < P_{G1} < 110$	$C_1 = 253 + 37.9P_{G1} + 0.253P_{G1}^2$
$20 < P_{G2} < 80$	$C_2 = 0 + 1.75P_{G2} + 0.0175P_{G2}^2$	$16 < P_{G2} < 80$	$C_2 = 1011 + 45.5P_{G2} + 0.379P_{G2}^2$
$15 < P_{G5} < 50$	$C_5 = 0 + P_{G5} + 0.0625P_{G5}^2$	$14 < P_{G3} < 70$	$C_3 = 506 + 37.9P_{G3} + 0.253P_{G3}^2$
$10 < P_{G8} < 35$	$C_8 = 0 + 3.25P_{G8} + 0.0834P_{G8}^2$	$18 < P_{G6} < 90$	$C_6 = 632 + 50.6P_{G6} + 0.379P_{G6}^2$
$10 < P_{G11} < 30$	$C_{11} = 0 + 3P_{G11} + 0.025P_{G11}^2$	$12 < P_{G8} < 60$	$C_8 = 758 + 37.9P_{G8} + 0.126P_{G8}^2$
$12 < P_{G13} < 40$	$C_{13} = 0 + 3P_{G13} + 0.025P_{G13}^2$		

## داده‌های VSC-HVDC

$S_{base} = 100 \text{ MVA}$		
$G_{cm} = 9.9 \text{ p.u.}$	;	$B_{cm} = 99 \text{ p.u.}$
$1 \leq V_{cm} \leq 1.06$	;	$-\pi \leq \delta_{cm} \leq \pi$
$1 \leq P_{DC}^{loss} \leq 50 \text{ KW}$		
$P_{loss}^{\text{Converter}} \approx 0$		تلفات خود کانورتر در مقابل تلفات خط DC بحدی است که می‌توان کانورتر را ایده‌آل فرض نمود.